

# Inhaltsverzeichnis

<b>1</b>	<b>Frequenzverhalten</b> <b>S205-251</b>	<b>3</b>
1.1	Logarithmische Darstellung <b>S206-210</b> . . . . .	3
1.2	Frequenzgang <b>S211-219</b> . . . . .	4
1.3	Minimal- und nicht-minimalphasige Systeme <b>S220-224</b> . . . . .	4
1.4	Stabilitätsbestimmung am Pol-/Nullstellendiagramm . . . . .	5
1.5	Bode-Diagramm (Matlab: <code>bode</code> ) <b>S225-239</b> . . . . .	5
1.6	Approximation des Bode-Diagramms <b>S230-239</b> . . . . .	6
1.7	Ortskurve (Nyquist-Diagramm) (Matlab: <code>nyquist</code> ) <b>S240-247</b> . . . . .	7
1.8	Nichols-Diagramm (Matlab: <code>nichols</code> ) . . . . .	7
1.9	Phasen-, und Gruppenlaufzeit <b>S182-186</b> . . . . .	7
1.10	Bestimmung der UTF aus dem Frequenzgang <b>S292</b> . . . . .	7
<b>2</b>	<b>Zustandsraumdarstellung (ZRD)</b> <b>S253-288</b>	<b>8</b>
2.1	Definition <b>S255</b> . . . . .	8
2.2	Äquivalente ZRD <b>S257-258</b> . . . . .	8
2.3	Stabilität der inneren Systemzustände <b>S274</b> . . . . .	8
2.4	ZRD im Zeitbereich <b>S259-262</b> . . . . .	8
2.5	ZRD im Frequenzbereich <b>S263-273</b> (Matlab: <code>ss2tf</code> ) . . . . .	8
2.6	Bestimmung der ZRD aus der UTF <b>S266</b> . . . . .	8
2.7	Beobachtbar- & Steuerbarkeit <b>S276-280</b> . . . . .	10
<b>3</b>	<b>Matrizenrechnung</b>	<b>10</b>
3.1	Übersicht . . . . .	10
3.2	Determinante . . . . .	10
3.3	Gaussverfahren . . . . .	11
3.4	Inverse Matrix (Existiert nur wenn Matrix regulär: $\det A \neq 0$ ) . . . . .	11
3.5	Diagonalisierung . . . . .	11
3.6	Eigenwerte . . . . .	11
<b>4</b>	<b>Filtertheorie</b> <b>S289-415</b>	<b>12</b>
4.1	Toleranzschema <b>S293</b> . . . . .	12
4.2	Realisation analoger Filter . . . . .	12
4.3	Kaskadierung von Filtern . . . . .	16
4.4	Vergleich der Approximationsarten <b>S331-341</b> . . . . .	17



# 1 Frequenzverhalten S205-251

## 1.1 Logarithmische Darstellung S206-210

Lrel. (dB)	Lrel. (NP)	P2/P1	A2/A1
100.000	11.513	10 <sup>10</sup>	10 <sup>5</sup>
90.000	10.362	10 <sup>9</sup>	31622.777
80.000	9.210	10 <sup>8</sup>	10 <sup>4</sup>
70.000	8.059	10 <sup>7</sup>	3162.278
60.000	6.908	10 <sup>6</sup>	10 <sup>3</sup>
50.000	5.756	10 <sup>5</sup>	316.228
40.000	4.605	10 <sup>4</sup>	10 <sup>2</sup>
30.000	3.454	10 <sup>3</sup>	31.623
20.000	2.303	10 <sup>2</sup>	10.000
19.085	2.197	81.000	9.000
19.000	2.187	79.433	8.913
18.062	2.079	64.000	8.000
18.000	2.072	63.096	7.943
17.000	1.957	50.119	7.079
16.902	1.946	49.000	7.000
16.000	1.842	39.811	6.310
15.563	1.792	36.000	6.000
15.000	1.727	31.623	5.623
14.000	1.612	25.119	5.012
13.979	1.609	25.000	5.000
13.000	1.497	19.953	4.467
12.041	1.386	16.000	4.000
12.000	1.382	15.849	3.981
11.000	1.266	12.589	3.548
10.000	1.151	10.000	3.162
9.542	1.099	9.000	3.000
9.000	1.036	7.943	2.818
8.000	0.921	6.310	2.512
7.000	0.806	5.012	2.239
6.021	0.693	4.000	2.000
6.000	0.691	3.981	1.995
5.000	0.576	3.162	1.778
4.000	0.461	2.512	1.585
3.010	0.347	2.000	1.414
3.000	0.345	1.995	1.413
2.000	0.230	1.585	1.259
1.000	0.115	1.259	1.122
0.000	0.000	1.000	1.000
-1.000	-0.115	0.794	0.891
-2.000	-0.230	0.631	0.794
-3.000	-0.345	0.501	0.708
-4.000	-0.461	0.398	0.631
-5.000	-0.576	0.316	0.562
-6.000	-0.691	0.251	0.501
-7.000	-0.806	0.200	0.447
-8.000	-0.921	0.158	0.398
-9.000	-1.036	0.126	0.355
-10.000	-1.151	0.100	0.316
-15.000	-1.727	0.032	0.178
-20.000	-2.303	10 <sup>-2</sup>	0.100
-30.000	-3.454	10 <sup>-3</sup>	0.032
-40.000	-4.605	10 <sup>-4</sup>	0.010
-50.000	-5.756	10 <sup>-5</sup>	0.003
-60.000	-6.908	10 <sup>-6</sup>	0.001

-70.000	-8.059	10 <sup>-7</sup>	0.000
-80.000	-9.210	10 <sup>-8</sup>	10 <sup>-4</sup>
-90.000	-10.362	10 <sup>-9</sup>	3.162 · 10 <sup>-5</sup>
-100.000	-11.513	10 <sup>-10</sup>	10 <sup>-5</sup>

Verstärkungsmass L in **Dezibel** (dB):

$$L_P = 10 \cdot \log\left(\frac{P_2}{P_1}\right) \quad \text{Index P: Leistung}$$

$$L_A = 20 \cdot \log\left(\frac{A_2}{A_1}\right) \quad \text{Index A: Amplitude}$$

Dezibel L zu linear:

$$P_2 = P_1 \cdot 10^{\frac{L_P}{10}}$$

$$A_2 = A_1 \cdot 10^{\frac{L_A}{20}}$$

Verstärkungsmass L in **Neper** (Np):

$$L_P = \frac{1}{2} \cdot \ln\left(\frac{P_2}{P_1}\right)$$

$$L_A = \ln\left(\frac{A_2}{A_1}\right)$$

Neper zu linear:

$$P_2 = P_1 \cdot e^{2L_P}$$

$$A_2 = A_1 \cdot e^{L_A}$$

Die Umrechnung zwischen **dB** und **Np** ist linear:

$$1 \text{ dB} = \frac{\ln(10)}{20} \text{ Np} = 0.1151 \text{ Np}$$

$$1 \text{ Np} = 20 \cdot \log(e) \text{ dB} = 8.686 \text{ dB}$$

Anstatt  $\frac{X_2}{X_1}$  für Verstärkungsmasse ( $L$ ) können auch  $\frac{X_1}{X_2}$  für **Dämpfungsmasse** ( $a$ ) verwendet werden!  
( $P$  für Leistungen,  $A$  für Amplituden)

### Hilfen zur Berechnung

$x \text{ dB}$	$T_P = P_2/P_1$	$T_A = A_2/A_1$
$-x \text{ dB}$	$1/T_P = D_P$	$1/T_A = D_A$
$x + 3 \text{ dB}$	$T_P \cdot 2$	$T_A \cdot \sqrt{2} \approx T_A \cdot 1.414$
$x + 6 \text{ dB}$	$T_P \cdot 4$	$T_A \cdot 2$
$x + 10 \text{ dB}$	$T_P \cdot 10$	$T_A \cdot \sqrt{10} \approx T_A \cdot 3.162$

$T$ : Verstärkungsfaktor       $D$ : Dämpfungsfaktor

### Relative Pegel

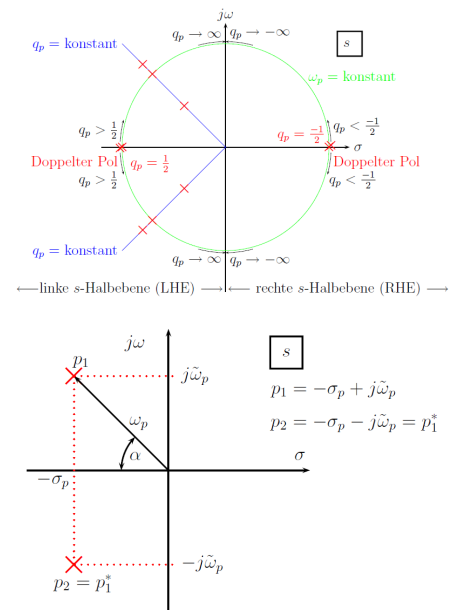
dBu	Spannungspegel bezogen auf 774.6 mV (1 mW an 600Ω)
dBV	Spannungspegel bezogen auf 1 V
dBμV	Spannungspegel bezogen auf 1 μV
dBW	Leistungspegel bezogen auf 1 W
dBm	Leistungspegel bezogen auf 1 mW

## 1.2 Frequenzgang S211-219

$$H(s) = \frac{Y(s)}{X(s)} = \frac{b_m s^m + b_{m-1} s^{m-1} + \dots + b_1 s + b_0}{a_n s^n + a_{n-1} s^{n-1} + \dots + a_1 s + a_0} = \frac{N(s)}{D(s)}$$

$$H(s) = K \cdot \frac{\prod_{i=1}^r \overbrace{(s^2 + 2\sigma_{z_i} s + \omega_{z_i}^2)}^{\text{komplex}} \prod_{i=2r+1}^m \overbrace{(s - z_i)}^{\text{reell}}}{\prod_{j=1}^t (s^2 + 2\sigma_{p_j} s + \omega_{p_j}^2) \prod_{j=2t+1}^n (s - p_j)}$$

Polfrequenz:	$\omega_p = \sqrt{\sigma_p^2 + \tilde{\omega}_p^2}$ (konj. komplexe Pole)
	$\omega_p = \sqrt{\sigma_{p1} \cdot \sigma_{p2}}$ (reelle Pole)
Polgüte:	$q_p = \frac{\omega_p}{2 \cdot \sigma_p} = \frac{1}{2 \cdot \cos \alpha}$ (konj. komplexe Pole)
	$q_p = \frac{\sqrt{\sigma_{p1} \cdot \sigma_{p2}}}{\sigma_{p1} + \sigma_{p2}} \leq \frac{1}{2}$ (reelle Pole)



Für die **Nullstellen** gelten die gleichen geometrischen Beziehungen. Für einen **Einzelpol** ist die Güte nicht definiert! Die Polfrequenz entspricht dann dem Abstand zum Ursprung.

### 1.2.1 Bode-Diagramm und Pol-Nullstellenverteilung

siehe im Anhang

## 1.3 Minimal- und nicht-minimalphasige Systeme S220-224

### 1.3.1 Allpass-Systeme S220

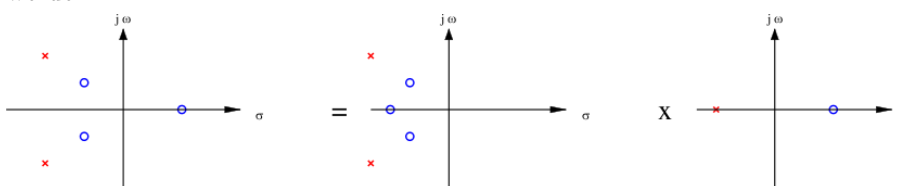
Allpässe werden vor allem als Laufzeitkorrekturglieder und als Verzögerungselemente verwendet. Der Amplitudengang ist konstant ( $|H(j\omega)| = const \neq 0$ ) und die Pol- bzw. Nullstellen haben in Paaren auftretende Null- und Polstellen, die symmetrisch zur  $j\omega$ -Achse liegen. Dabei liegen die Nullstellen auf der RHE. UTF:  $H_A(s) = K \frac{Q(-s)}{Q(s)}$   
 Wobei  $Q(s)$  ein striktes Hurwitz-Polynom ist.

### 1.3.2 Minimalphasennetzwerke S221

- Keine Nullstellen in der rechten Halbebene
- Nullstellen auf der imaginären Achse erlaubt

### 1.3.3 Nicht-Minimalphasennetzwerk S221

Ein Nicht-Minimalphasennetzwerk kann durch Kaskadierung eines Allpasses und eine Minimalphasennetzwerk realisiert werden:



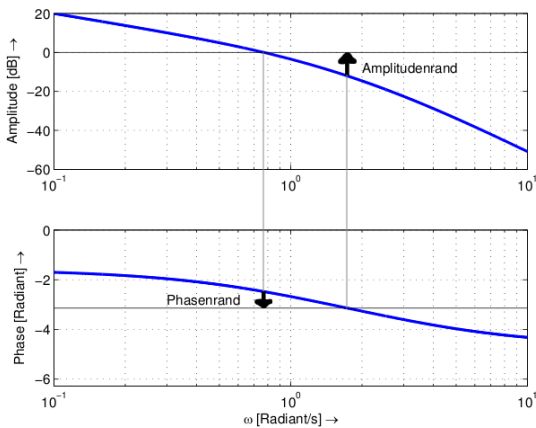
Nicht-Minimalphasennetzwerk (links) = Minimalphasennetzwerk (Mitte) · Allpass (rechts)  
 $H(s) = H_M(s) \cdot H_A(s)$

### 1.4 Stabilitätsbestimmung am Pol-/Nullstellendiagramm

- asymptotisch stabil = alle Polstellen in der linken Halbebene (LHE)
- grenzstabil = keine Polstellen in der RHE, keine mehrfachen Pole auf der imaginären Achse und auf der imaginären Achse mindestens ein einfacher Pol
- instabil = Pol in RHE oder mehrfach Pole auf der imaginären Achse

### 1.5 Bode-Diagramm (Matlab: bode) S225-239

Siehe S225 für Beispiele



#### 1.5.1 Definition

Das Bodediagramm besteht aus zwei Graphen, einer zeigt die Amplitude in doppelt-logarithmischer Form, der zweite zeigt die Phase in Grad und in linearer Form in Abhängigkeit der Frequenz dar.

#### 1.5.2 Stabilitätsbestimmung S248-250 (Matlab: margin, allmargin)

Der **Amplitudenrand** ist der Abstand des Amplitudenganges zur 0 dB-Linie bei der Kreisfrequenz  $\omega$ , wo die Phase gleich  $-\pi$  ist.

Der **Phasenrand** ist der Abstand des Phasenganges zur  $-\pi$ -Linie bei der Kreisfrequenz  $\omega$ , wo die Amplitude gleich 0 dB ist.

Damit ein System stabil ist, müssen Phasen- und Amplitudenrand  $> 0$  sein. Je grösser diese sind, desto "stabiler" ist das System.

#### 1.5.3 Vom Pol-/Nullstellendiagramm zum Bode-Diagramm S230

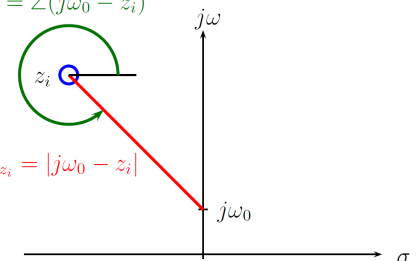
$$H(j\omega_0) = K \cdot \frac{(j\omega_0 - z_1)(j\omega_0 - z_2) \dots (j\omega_0 - z_m)}{(j\omega_0 - p_1)(j\omega_0 - p_2) \dots (j\omega_0 - p_n)} = |H(j\omega_0)| \cdot e^{j\varphi(\omega_0)}$$

$$|H(j\omega_0)| = K \cdot \frac{\prod_{i=1}^m A_{z_i}}{\prod_{j=1}^n A_{p_j}}$$

$$\varphi(\omega_0) = \text{Phase von } K + \sum_{i=1}^m \theta_{z_i} - \sum_{j=1}^n \theta_{p_j}$$

Phase:  $\theta_{z_i} = \angle(j\omega_0 - z_i)$

Betrag:  $A_{z_i} = |j\omega_0 - z_i|$



#### Grenzwerte:

$\omega \rightarrow 0$	$\rightarrow \infty$	Polstelle bei $\omega = 0$
	endlich	keine Pol- oder Nullstelle bei $\omega = 0$
$\omega \rightarrow \infty$	$\rightarrow 0$	Nullstelle bei $\omega = 0$
	$\rightarrow \infty$	mehr Null- als Polstellen
$\omega \rightarrow 0$	endlich	gleich viele Pol- und Nullstellen
	$\rightarrow 0$	mehr Pol- als Nullstellen

#### Regeln:

- reelle einfache Nullstellen "knicken nach oben weg"
- reelle einfache Polstellen "knicken nach unten weg"
- Pol-, Nullstellen auf der gleichen Stelle heben sich (theoretisch) auf
- konj. komplexe Nullstellen haben eine Senke
- konj. komplexe Polstellen haben eine Überhöhung

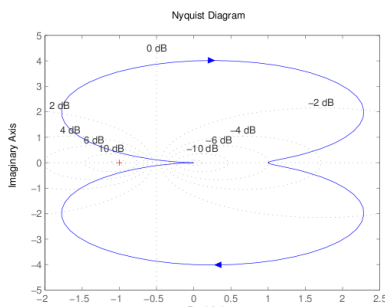
- Pol auf Höhe  $j\omega_x \implies$  Überhöhung bei  $\omega_x$
- Nullstelle auf Höhe  $j\omega_x \implies$  Dämpfung bei  $\omega_x$
- $\frac{\prod \text{Abstände NS zu } \omega}{\prod \text{Abstände PS zu } \omega} > 1 \implies$  Verstärkung
- $\frac{\prod \text{Abstände NS zu } \omega}{\prod \text{Abstände PS zu } \omega} < 1 \implies$  Dämpfung
- Beim Durchlaufen eines Pols oder einer Nullstelle auf der  $j\omega$ -Achse, macht der Phasengang einen Sprung von  $180^\circ$

## 1.6 Approximation des Bode-Diagramms S230-239

Pole	UTF $H(s)$	Amplitude $ H(s) $	Phase $\angle(H(s))$
Keine, konstanter Faktor	$\alpha e^{j\beta}$	 Konstant: $20 \log \alpha$	 Konstant: $\beta$
Pol im Ursprung	$\frac{\alpha}{s}$	 Lineare Steigung: $-20\text{dB}/\text{Dek.}$ $0\text{dB}$ bei $\omega = \alpha$	 Konstant: $-\frac{\pi}{2}$
Nullstelle im Ursprung	$\alpha s$	 Lineare Steigung: $+20\text{dB}/\text{Dek.}$ $0\text{dB}$ bei $\omega = \frac{1}{\alpha}$	 Konstant: $+\frac{\pi}{2}$
Reeller Pol	$\frac{1}{s+\alpha}$	 $\omega < \alpha$ : Konstant $-20 \log \alpha$ $\omega > \alpha$ : $-20\text{dB}/\text{Dek.}$	 $\omega < \frac{\alpha}{10}$ : Konstant $0$ $\omega > 10\alpha$ : Konstant $-\frac{\pi}{2}$
Reeller Pol	$\frac{\alpha}{s+\alpha}$	 $\omega < \alpha$ : Konstant $0\text{dB}$ $\omega > \alpha$ : $-20\text{dB}/\text{Dek.}$ ( $\omega_r = \alpha$ )	 $\omega < \frac{\alpha}{10}$ : Konstant $0$ $\omega > 10\alpha$ : Konstant $-\frac{\pi}{2}$
Reelle Nullstelle	$s + \alpha$	 $\omega < \alpha$ : Konstant $20 \log \alpha$ $\omega > \alpha$ : $+20\text{dB}/\text{Dek.}$	 $\omega < \frac{\alpha}{10}$ : Konstant $0$ $\omega > 10\alpha$ : Konstant $+\frac{\pi}{2}$
Reelle Nullstelle	$\frac{s+\alpha}{\alpha}$	 $\omega < \alpha$ : Konstant $0\text{dB}$ $\omega > \alpha$ : $+20\text{dB}/\text{Dek.}$	 $\omega < \frac{\alpha}{10}$ : Konstant $0$ $\omega > 10\alpha$ : Konstant $+\frac{\pi}{2}$
Konjugiert-komplexe Pole für $ q_p  > 1/2$	$\frac{1}{s^2 + s \frac{\omega_p}{q_p} + \omega_p^2}$	 $\omega < \omega_p$ : Konstant $-40 \log \omega_p$ $\omega > \omega_p$ : $-40\text{dB}/\text{Dek.}$ Überhöhung: $\frac{\omega_p}{2}$ bis $2\omega_p$ Maximum: $-40 \log \omega_p + 20 \log q_p$ bei $\omega = \omega_p$	 $\omega < \frac{\omega_p}{10}$ : Konstant $0$ $\omega > \omega_p 10^{\frac{1}{2q_p}}$ : Konstant $-\pi$ $\omega = \omega_p$ : $-\frac{\pi}{2}$
Konjugiert-komplexe Pole für $ q_p  > 1/2$	$\frac{\omega_p^2}{s^2 + s \frac{\omega_p}{q_p} + \omega_p^2}$	 $\omega < \omega_p$ : Konstant $0\text{dB}$ $\omega > \omega_p$ : $-40\text{dB}/\text{Dek.}$ Überhöhung: $\frac{\omega_p}{2}$ bis $2\omega_p$ Maximum: $20 \log q_p$ bei $\omega = \omega_p$	 $\omega < \frac{\omega_p}{10}$ : Konstant $0$ $\omega > \omega_p 10^{\frac{1}{2q_p}}$ : Konstant $-\pi$ $\omega = \omega_p$ : $-\frac{\pi}{2}$
Konjugiert-komplexe Nullstellen für $ q_z  > 1/2$	$s^2 + s \frac{\omega_z}{q_z} + \omega_z^2$ $\frac{s^2 + s \frac{\omega_z}{q_z} + \omega_z^2}{\omega_z^2}$	Analog zu den Konjugiert-komplexen Polen jedoch gespiegelt an der $0\text{dB}$ - / $0$ -Grad-Linie.	

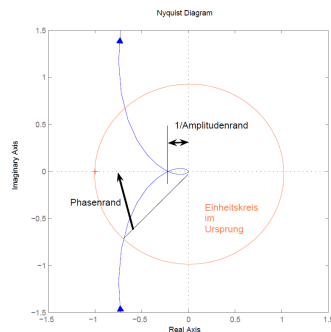
Serieschaltung von Systemen erfolgt durch **Superposition** der einzelnen Bode-Diagramme (Multiplikation von UTFs entspricht Addition im dB-Bereich).  $\alpha, \beta \in \mathbf{R}$ . Für  $\omega_p$  und  $q_p$  siehe Kapitel 1.2

### 1.7 Ortskurve (Nyquist-Diagramm) (Matlab: nyquist) S240-247



#### 1.7.1 Definition

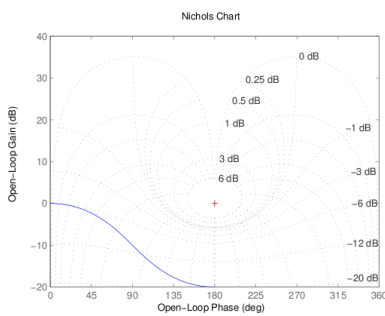
Im Gegensatz zum Bode-Diagramm wird beim Nyquist-Diagramm Betrag und Phase in einem einzigen Diagramm dargestellt, nämlich indem man den Real- und Imaginärteil des Ausgabewertes direkt in die komplexe Zahlenebene zeichnet.



#### 1.7.2 Stabilitätsbestimmung S245-247

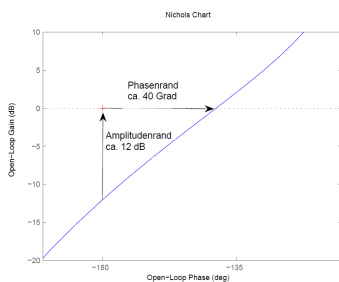
Ist der **offene** Regelkreis  $H(s)$  **asymptotisch stabil**, so ist der **geschlossene** Regelkreis  $1 + H(s) = D(s) + N(s)$  asymptotisch stabil, wenn die **Ortskurve** des **offenen** Regelkreises den kritischen Punkt  $(-1, j0)$  weder umkreist noch durchläuft.

### 1.8 Nichols-Diagramm (Matlab: nichols)



#### 1.8.1 Definition

Das Nichols Diagramm (auch Amplituden-Phasen-Diagramm) ist die Darstellung des Absolutbetrages (Verstärkung, logarithmisch) in Abhängigkeit der Phase. Das Nichols Diagramm ist zur Bestimmung der Stabilität in rückgekoppelten Systemen verwendbar.



#### 1.8.2 Stabilitätsbestimmung

Beim Nichols Diagramm lassen sich Amplitudenrand und Phasenrand am einfachsten aus dem Diagramm lesen.

### 1.9 Phasen-, und Gruppenlaufzeit S182-186

	Formel	Definition
Phasenlaufzeit S182	$\tau_P(\omega) = \frac{-\varphi(\omega)}{\omega}$	Die Phasenlaufzeit ist nur für <b>reine Sinusschwingungen</b> exakt bestimmbar. Mit einer Phasenlaufzeit wird das Ausgangssignal gegenüber dem Eingangssignal verzögert.
Gruppenlaufzeit S183	$\tau_g(\omega) = \frac{-d\varphi(\omega)}{d\omega}$	Die Gruppenlaufzeit gilt für Signale mit mehreren Frequenzanteilen. Die Gruppenlaufzeit kann als <b>Laufzeit eines Signals</b> interpretiert werden.

### 1.10 Bestimmung der UTF aus dem Frequenzgang S292

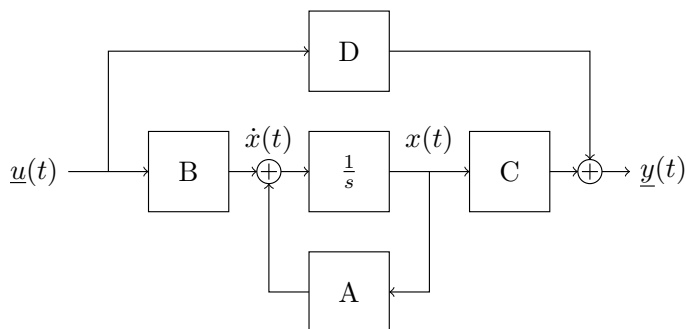
$$\frac{N(s)}{D(s)} \cdot \frac{N(-s)}{D(-s)} = |H(j\omega)|^2 \Big|_{\omega^2 = -s^2}$$

Aus Stabilitätsgründen muss  $D(s)$  ein Hurwitz-Polynom sein.

## 2 Zustandsraumdarstellung (ZRD) S253-288

Darstellung einer Differentialgleichung  $n$ . Ordnung durch ein Differentialgleichungssystem von  $n$  Gleichungen 1. Ordnung.

### 2.1 Definition S255



$$\dot{\underline{x}}(t) = \underline{A}\underline{x}(t) + \underline{B}\underline{u}(t) \quad (\text{Zustandsgleichung})$$

$$\underline{y}(t) = \underline{C}\underline{x}(t) + \underline{D}\underline{u}(t) \quad (\text{Ausgangsgleichung})$$

**A** Systemmatrix ( $n \times n$ )

**B** Steuer- oder Eingangsmatrix ( $n \times m$ ) "senkrecht"

**C** Beobachtungs- oder Ausgangsmatrix ( $k \times n$ ) "waagrecht"

**D** Übergangs- oder Durchgangsmatrix ( $k \times m$ )

**m** Anzahl Eingänge

**n** Anzahl Integratoren (Ordnung)

**k** Anzahl Ausgänge

Bestimmung der Matrizen A,B,C,D siehe auch S257

### 2.2 Äquivalente ZRD S257-258

$$\dot{\underline{\xi}}(t) = \underbrace{\underline{T}\underline{A}\underline{T}^{-1}}_{\underline{A}} \underline{\xi}(t) + \underbrace{\underline{T}\underline{B}}_{\underline{B}} \underline{u}(t)$$

$$\underline{y}(t) = \underbrace{\underline{C}\underline{T}^{-1}}_{\underline{C}} \underline{\xi}(t) + \underbrace{\underline{D}}_{\underline{D}} \underline{u}(t)$$

**T**: Transformationsmatrix mit

$$\underline{T}\underline{T}^{-1} = \underline{T}^{-1}\underline{T} = \underline{I}$$

Mit der Transformationsmatrix kann man verschiedenste Zustandgrössen und ZRD erhalten, die aber alle ein identisches Systemverhalten aufweisen.

### 2.3 Stabilität der inneren Systemzustände S274

Wenn alle Realteile der Eigenwerte  $\lambda$  der Systemmatrix **A** negativ sind, ist ein LTI-System asymptotisch stabil,  $|\lambda \mathbf{I} - \mathbf{A}| = 0 \rightarrow \forall \lambda \quad \Re\{\lambda\} < 0$  jedoch nicht umgekehrt.

### 2.4 ZRD im Zeitbereich S259-262

### 2.5 ZRD im Frequenzbereich S263-273 (Matlab: `ss2tf`)

$$\underline{H}(s) = \frac{\underline{Y}(s)}{\underline{U}(s)} = \underline{C}(s\mathbf{I} - \underline{A})^{-1} \underline{B} + \underline{D} \quad (\text{Anfangsbedingungen: } \underline{x}(0) = \vec{0})$$

Die Grösse der Matrix **H(s)** entspricht der Grösse der Durchgangsmatrix **D**. **I** sei die Einheitsmatrix mit Grösse  $n \times n$ .

Allgemeine Formel für  $m = 1$  Eingang,  $k = 1$  Ausgang,  $n = 2$  Integratoren:

$$\begin{aligned} H(s) &= [C_{11} \quad C_{12}] \cdot \left( \begin{bmatrix} s & 0 \\ 0 & s \end{bmatrix} - \begin{bmatrix} A_{11} & A_{12} \\ A_{21} & A_{22} \end{bmatrix} \right)^{-1} \cdot \begin{bmatrix} B_{11} \\ B_{21} \end{bmatrix} + D \\ &= \frac{B_{11}C_{11}(s - A_{22}) + B_{11}C_{12}A_{21} + B_{21}C_{11}A_{12} + B_{21}C_{12}(s - A_{11})}{(s - A_{22})(s - A_{11}) - A_{12}A_{21}} + D \end{aligned}$$

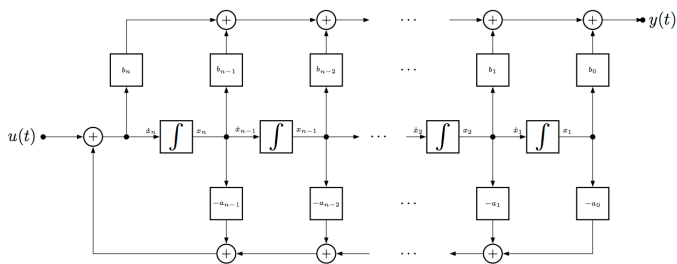
Ist die Übertragungsfunktion  $H_{ba}(s)$  vom **Eingang b** zum **Ausgang a** gesucht, so gilt:

$$H_{ba}(s) = \frac{Y_a(s)}{U_b(s)} = C(a, :) \cdot (s \cdot \mathbf{I} - \underline{A})^{-1} \cdot B(:, b) + D(a, b)$$

### 2.6 Bestimmung der ZRD aus der UTF S266

$$H(s) = \frac{Y(s)}{U(s)} = \frac{b_m s^m + b_{m-1} s^{m-1} + \dots + b_1 s + b_0}{s^n + a_{n-1} s^{n-1} + \dots + a_1 s + a_0}$$

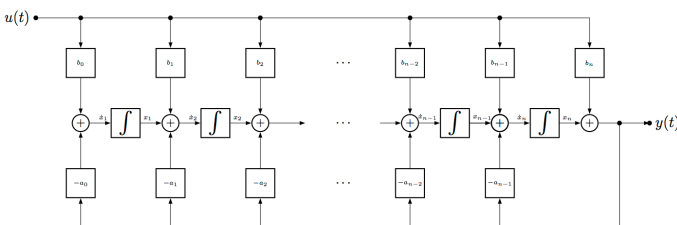
**2.6.1 Regelungsnormalform S266**



$$\begin{bmatrix} \dot{x}_1(t) \\ \dot{x}_2(t) \\ \vdots \\ \dot{x}_{n-1}(t) \\ \dot{x}_n(t) \end{bmatrix} = \begin{bmatrix} 0 & 1 & 0 & \dots & 0 \\ 0 & 0 & 1 & \dots & 0 \\ \vdots & \vdots & \vdots & \ddots & \vdots \\ 0 & 0 & 0 & \dots & 1 \\ -a_0 & -a_1 & -a_2 & \dots & -a_{n-1} \end{bmatrix} \cdot \begin{bmatrix} x_1(t) \\ x_2(t) \\ \vdots \\ x_{n-1}(t) \\ x_n(t) \end{bmatrix} + \begin{bmatrix} 0 \\ 0 \\ \vdots \\ 0 \\ 1 \end{bmatrix} \cdot u(t),$$

$$y(t) = [ b_0 - a_0 b_n \quad b_1 - a_1 b_n \quad \dots \quad b_{n-1} - a_{n-1} b_n ] \cdot \begin{bmatrix} x_1(t) \\ x_2(t) \\ \vdots \\ x_{n-1}(t) \\ x_n(t) \end{bmatrix} + [ b_n ] \cdot u(t).$$

**2.6.2 Beobachtungsnormalform S268**



$$\begin{bmatrix} \dot{x}_1(t) \\ \dot{x}_2(t) \\ \vdots \\ \dot{x}_{n-1}(t) \\ \dot{x}_n(t) \end{bmatrix} = \begin{bmatrix} 0 & 0 & 0 & \dots & -a_0 \\ 1 & 0 & 0 & \dots & -a_1 \\ 0 & 1 & 0 & \dots & -a_2 \\ \vdots & \vdots & \vdots & \ddots & \vdots \\ 0 & 0 & \dots & 0 & 1 \\ 0 & 0 & \dots & 1 & -a_{n-1} \end{bmatrix} \cdot \begin{bmatrix} x_1(t) \\ x_2(t) \\ \vdots \\ x_{n-1}(t) \\ x_n(t) \end{bmatrix} + \begin{bmatrix} b_0 - a_0 b_n \\ b_1 - a_1 b_n \\ b_2 - a_2 b_n \\ \vdots \\ b_{n-1} - a_{n-1} b_n \end{bmatrix} \cdot u(t),$$

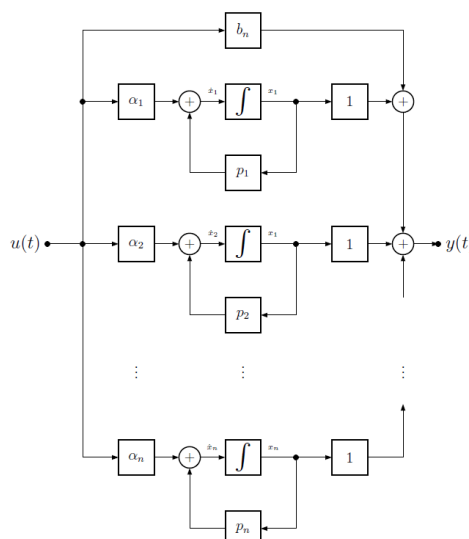
$$y(t) = [ 0 \quad 0 \quad \dots \quad 1 ] \cdot \begin{bmatrix} x_1(t) \\ x_2(t) \\ \vdots \\ x_{n-1}(t) \\ x_n(t) \end{bmatrix} + [ b_n ] \cdot u(t).$$

**2.6.3 Diagonalform S270**

Für einfache, reelle Pole mit  $m = n$

$$\begin{bmatrix} \dot{x}_1(t) \\ \dot{x}_2(t) \\ \vdots \\ \dot{x}_{n-1}(t) \\ \dot{x}_n(t) \end{bmatrix} = \overbrace{\begin{bmatrix} p_1 & 0 & 0 & \dots & 0 \\ 0 & p_2 & 0 & \dots & 0 \\ 0 & 0 & p_3 & \dots & 0 \\ \vdots & \vdots & \vdots & \ddots & \vdots \\ 0 & 0 & \dots & p_{n-1} & 0 \\ 0 & 0 & \dots & 0 & p_n \end{bmatrix}}^A \cdot \begin{bmatrix} x_1(t) \\ x_2(t) \\ \vdots \\ x_{n-1}(t) \\ x_n(t) \end{bmatrix} + \overbrace{\begin{bmatrix} 1 \\ 1 \\ \vdots \\ 1 \\ 1 \end{bmatrix}}^B \cdot u(t)$$

$$y(t) = \overbrace{[\alpha_1 \quad \alpha_2 \quad \dots \quad \alpha_n]}^C \cdot \begin{bmatrix} x_1(t) \\ x_2(t) \\ \vdots \\ x_{n-1}(t) \\ x_n(t) \end{bmatrix} + \overbrace{[b_n]}^D \cdot u(t)$$



### 2.6.4 Jordan-Normalform **S273**

Ist für mehrfache, reelle Pole. Die Jordan-Normalform ist gleich aufgebaut wie die Diagonalform, es kann jedoch auf der oberen Nebendiagonalen z.T 1 haben. Mehr Details im Skript S.283

## 2.7 Beobachtbar- & Steuerbarkeit **S276-280**

### 2.7.1 Steuerbarkeit **S276** (Matlab: `ctrb`)

Gibt es Zustände von  $\underline{x}(t)$  die nicht von den Eingängen  $\underline{u}(t)$  beeinflusst werden? Wenn ja, dann ist das System nicht steuerbar! Wenn  $|Q_{\text{Steuerbarkeit}}| = |[B \ AB \ A^2B \ \dots \ A^{n-1}B]| \neq 0$ , dann ist das System vollständig steuerbar.

### 2.7.2 Ausgangssteuerbarkeit **S279**

Ein System ist vollständig ausgangssteuerbar, wenn es eine Steuerfunktion  $\underline{u}(t)$  gibt, welche die Ausgänge  $\underline{y}(t)$  innerhalb einer endlichen Zeitspanne in einen Endwert bringt.

Wenn  $\text{rang}(Q_{\text{AusgSteuerbarkeit}}) = \text{rang}([CB \ CAB \ CA^2B \ \dots \ CA^{n-1}B \ D]) = k$  ( $k = \text{Anzahl Ausgänge}$ ), dann ist das System vollständig ausgangssteuerbar.

Rang einer Matrix: max. Anzahl lin. unabhängiger Zeilen (= lin. unabh. Spalten)

### 2.7.3 Beobachtbarkeit **S277** (Matlab: `obsv`)

Gibt es Zustände  $\underline{x}(t)$  die keinen Einfluss auf die Ausgänge  $\underline{y}(t)$  haben? Wenn ja, kann man aus dem Verhalten von  $\underline{y}(t)$  nicht auf die Zustände  $\underline{x}(t)$  schliessen! Das System ist nicht beobachtbar!

Wenn  $|Q_{\text{Beobachtbarkeit}}| = \left| \begin{bmatrix} C \\ CA \\ CA^2 \\ \vdots \\ CA^{n-1} \end{bmatrix} \right| \neq 0$ , dann ist das System vollständig beobachtbar.

## 3 Matrizenrechnung

### 3.1 Übersicht

Transponierte Matrix:  $A^T = [a_{ik}^T] = [a_{ki}]$  vertauschen der Zeilen mit Spalten

Einheitsmatrix:  $I_n = \begin{bmatrix} 1 & 0 & 0 \\ 0 & 1 & 0 \\ 0 & 0 & 1 \end{bmatrix}$

### 3.2 Determinante

#### 2x2 Matrix

$$\det \begin{bmatrix} a & b \\ c & d \end{bmatrix} = ad - bc$$

#### 3x3 Matrix

$$\begin{bmatrix} a & b & c \\ d & e & f \\ g & h & i \end{bmatrix} = aei + bfg + cdh - ceg - afh - bdi$$

**Dreiecksmatrix** - Alle Elemente entweder ober- oder unterhalb der Hauptdiagonale = 0

$\det A = a_{11} \cdot a_{22} \cdot \dots \cdot a_{nn}$  Die Det. ist das Produkt der Hauptdiagonal-Einträge. Gilt somit auch für Diagonalmatrizen.

**Null** ( $|A| = 0$ ) - Wenn  $A$  eine  $(n,n)$ -Matrix ist, so wird  $|A| = 0$  unter einer der folgenden Bedingungen:

- Zwei Zeilen/Spalten sind linear abhängig (gleich oder ein Vielfaches der anderen).
- Alle Elemente einer Zeile/Spalte sind Null.

**Allgemein:**

$$A \in M_n : \det A = \begin{vmatrix} a_{11} & a_{12} & \dots & a_{1n} \\ a_{21} & & \dots & \\ \dots & & & \\ a_{n1} & & \dots & a_{nn} \end{vmatrix} = (-1)^{1+1} a_{11} D_{11} + (-1)^{1+2} a_{12} D_{12} + \dots + (-1)^{1+n} a_{1n} D_{1n}$$

### 3.2.1 Unterdeterminante

$$D_{11} = \begin{vmatrix} a_{22} & \dots & a_{2n} \\ \dots & & \\ a_{n2} & \dots & a_{nn} \end{vmatrix} \quad D_{12} = \begin{vmatrix} a_{21} & a_{23} & \dots & a_{2n} \\ \dots & & & \\ a_{n1} & a_{n3} & \dots & a_{nn} \end{vmatrix}$$

$D_{ij}$  die  $(n-1) \times (n-1)$ -Untermatrix von  $D$  ist, die durch Streichen der  $i$ -ten Zeile und  $j$ -ten Spalte entsteht. Diese Methode ist zu empfehlen, wenn die Matrix in einer Zeile oder Spalte bis auf eine Stelle nur Nullen aufweist. Dies lässt sich meist mit dem Gausverfahren bewerkstelligen.

### 3.3 Gaussverfahren

Durch Addition und Subtraktion einzelner Zeilen (auch von Vielfachen einer Zeile) werden einzelne Stellen auf Null gebracht. zB:

$$\begin{bmatrix} a_{11} & a_{12} & \dots & a_{1n} \\ a_{21} & & \dots & \\ \dots & & & \\ a_{n1} & & \dots & a_{nn} \end{bmatrix} = \begin{bmatrix} a_{11} & a_{12} & \dots & a_{1n} \\ ka_{21} - na_{11} & ka_{22} - na_{12} & \dots & ka_{2n} - na_{1n} \\ \dots & & & \\ a_{n1} & & \dots & a_{nn} \end{bmatrix}$$

Die  $n$  \* erste Zeile wurde von der  $k$  \* zweiten Zeile abgezogen ( $a_{2.} = ka_{2.} - na_{1.}$ )

### 3.4 Inverse Matrix (Existiert nur wenn Matrix regulär: $\det A \neq 0$ )

**2x2 Matrix:**

$$A^{-1} = \begin{bmatrix} a & b \\ c & d \end{bmatrix}^{-1} = \frac{1}{ad - bc} \begin{bmatrix} d & -b \\ -c & a \end{bmatrix}$$

**3x3 Matrix:**

$$A^{-1} = \begin{bmatrix} a & b & c \\ d & e & f \\ g & h & i \end{bmatrix}^{-1} = \frac{1}{\det(A)} \begin{bmatrix} ei - fh & ch - bi & bf - ce \\ fg - di & ai - cg & cd - af \\ dh - eg & bg - ah & ae - bd \end{bmatrix}$$

**Diagonalmatrix** (Alle Elemente ausserhalb der Hauptdiagonale = 0, Elemente auf Hauptdiagonale sind Eigenwerte  $\lambda_i$ ):  
 Alle Elemente elementweise invertieren - Kehrwert.  $\Rightarrow$  Gilt nur wenn alle Elemente auf der Hauptdiagonale  $\neq 0$  sind.

**Allgemein:**

$$A^{-1} = \begin{bmatrix} a_{11} & a_{12} & \dots & a_{1n} \\ a_{21} & & \dots & \\ \dots & & & \\ a_{n1} & & \dots & a_{nn} \end{bmatrix}^{-1}$$

1.  $A^T$  bestimmen (Zeilen und Spalten vertauschen)  $A^T = \begin{bmatrix} a_{11} & a_{21} & \dots & a_{n1} \\ a_{12} & & \dots & \\ \dots & & & \\ a_{1n} & & \dots & a_{nn} \end{bmatrix}$

2. Bei  $A^T$  jedes Element  $a_{ij}$  durch Unterdet.  $D_{ij}$  mit richtigem Vorzeichen ersetzen  $A^* = \begin{bmatrix} (-1)^{1+1}D_{11} & \dots & (-1)^{1+n}D_{1n} \\ \dots & & \\ (-1)^{n+1}D_{n1} & \dots & (-1)^{n+n}D_{nn} \end{bmatrix}$

3.  $A^{-1} = \frac{A^*}{\det A}$

### 3.5 Diagonalisierung

- Eigenwerte  $\lambda$  ausrechnen:  $\det(A - I_n \lambda) = 0$
- Eigenvektoren  $\vec{v}$  bilden:  $(A - \lambda I_n) \vec{v} = 0$
- Transformationsmatrix:  $T = [\vec{v}_1 \dots \vec{v}_n]$
- $T^{-1}$  berechnen (Achtung ist A symmetrisch, dh.  $A^T = A$  und/oder alle EV senkrecht zueinander, dann  $T^{-1} = T^T$ )

5.  $D = \begin{bmatrix} \lambda_1 & 0 & 0 \\ 0 & \lambda_2 & 0 \\ 0 & 0 & \lambda_3 \end{bmatrix} = A_{diag} = T^{-1}AT$

$B_{diag} = T^{-1}B$   
 $C_{diag} = CT$   
 $D_{diag} = D$

### 3.6 Eigenwerte

Die Eigenwerte  $\lambda$  erhält man folgendermassen ( $I$  ist die Einheitsmatrix):

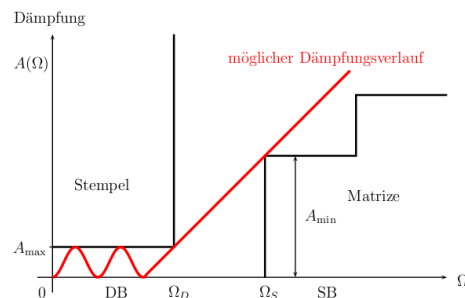
$$|\lambda I - A| = 0 \quad \text{nach } \lambda \text{ auflösen}$$

## 4 Filtertheorie S289-415

Man unterscheidet die Filtertypen grundsätzlich zwischen Tief-(TP), Hoch-(HP), All-(AP) und Bandpässen(BP) sowie Bandsperren(BS).

### 4.1 Toleranzschema S293

Im Durchlassbereich (DB) bestimmt der Stempel die maximal zulässige Dämpfung  $A_{max}$ ; im Sperrbereich (SB) bestimmt die Matrizze die minimal nötige Dämpfung  $A_{min}$ .

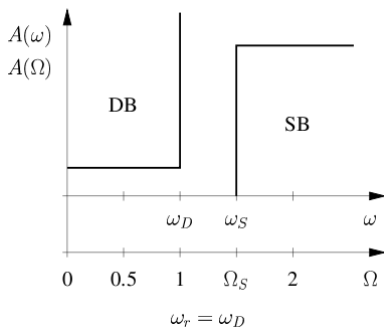


## 4.2 Realisation analoger Filter

### 4.2.1 Allgemeines Vorgehen

UTF	LC-Filter
1. Toleranzschema (Kap. 4.1) und Frequenznormierung (Kap. 4.2.2)	1. Toleranzschema (Kap. 4.1) und Frequenznormierung (Kap. 4.2.2)
2. Äquivalenten normierten TP bestimmen (Kap. 4.2.7) (TP)	2. Äquivalenten normierten TP bestimmen (Kap. 4.2.7) (TP)
3. Tiefpassapproximationsart bestimmen (Kap. 4.2.3) (TP)	3. Tiefpassapproximationsart bestimmen (Kap. 4.2.3) (TP)
4. Ordnung für TP bestimmen (Kap. 4.2.4) (TP)	4. Ordnung für TP bestimmen (Kap. 4.2.4) (TP)
5. normierte TP UTF bestimmen (Kap. 4.2.5) (TP)	5. Referenzwiderstand bestimmen (Kap. 4.2.9) (TP)
6. $\Omega_{3dB}$ bestimmen (Kap. 4.2.6) (TP)	6. $L_{FI}$ und $C_{FI}$ bestimmen (Kap. 4.2.10) (TP)
7. Rücktransformation und Entnormierung (Kap. 4.2.8 und Kap. 4.2.7)	7. $\Omega_{3dB}$ bestimmen (Kap. 4.2.6) (TP)
	8. LC Umnormieren (Kap. 4.2.11) (TP)
	9. Filtertransformation (Kap. 4.2.12)
	10. LC in Impedanz & Frequenz entnormieren (Kap. 4.2.13)

### 4.2.2 Frequenznormierung S295



#### Normierung

$$S = \frac{s}{\omega_r} \qquad \Omega = \frac{\omega}{\omega_r} \qquad \sigma' = \frac{\sigma}{\omega_r}$$

Bei BP:  $\omega_r = \omega_m = \sqrt{\omega_{B1}\omega_{B2}} \stackrel{\text{wenn symmetrisch}}{=} \sqrt{\omega_{S1}\omega_{S2}}$

Bei BS:  $\omega_r = \omega_m = \sqrt{\omega_{S1}\omega_{S2}} \stackrel{\text{wenn symmetrisch}}{=} \sqrt{\omega_{B1}\omega_{B2}}$

Bei TP & HP:  $\omega_r = \omega_D$

$\omega_r$ : Referenzfrequenz

$\omega_m$ : Mittenfrequenz

$\omega_D$ : Durchlassfrequenz

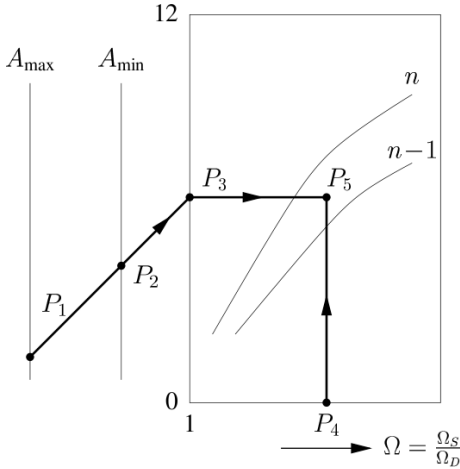
Zur Entnormierung wird  $\omega_{3db}$  gebraucht, daher sind diese Formeln dafür nicht geeignet!

## 4.2.3 Tiefpassapproximationen (TP) S295-330

<p><b>Butterworth S301</b></p> <ul style="list-style-type: none"> <li>• Amplitudengang: Gute Approximation (“maximal flach”, keine Welligkeit)</li> <li>• Allpolfilter: Pole liegen auf dem Einheitskreis mit Abstand <math>\frac{\pi}{n}</math></li> <li>• Gruppenlaufzeit: Leichte Überhöhung bei Grenzfrequenz</li> <li>• Bei <math>\Omega = 1</math> hat <math> H(j\omega) </math> einen Abfall von 3.01dB</li> <li>• Steilheit im SB: <math>-n \cdot 20dB/Dek</math></li> </ul>	<p><b>Kritisch gedämpftes (Gauss)-Filter S297</b></p> <ul style="list-style-type: none"> <li>• Keine Überschinger bei Impuls- &amp; Sprungantwort</li> <li>• Kaskadierung von wirkungsfreien identischer Filter 1.Ordnung</li> <li>• Allpolfilter: Pole nur auf negativer <math>\sigma</math>-Achse</li> <li>• Gruppen- und Phasenlaufzeit im DB relativ konstant</li> <li>• Bei <math>\Omega = 1</math> hat es eine Dämpfung 3.01dB</li> <li>• Steilheit im SB: <math>-n \cdot 20dB/Dek</math></li> </ul>
<p><b>Tschebyscheff I S308</b></p> <ul style="list-style-type: none"> <li>• Amplitudengang: Definierte Welligkeit im DB, steiler Übergang</li> <li>• Allpolfilter, wobei alle Pole auf einer Ellipse liegen</li> <li>• Gruppen- und Phasenlaufzeit im DB relativ wellig.</li> <li>• Steilheit im SB: <math>-n \cdot 20dB/Dek</math></li> </ul>	<p><b>Inverser Tschebyscheff / Tscheby. II S317</b></p> <ul style="list-style-type: none"> <li>• Definierte Welligkeit im Sperrbereich</li> <li>• kein Allpolfilter</li> <li>• Gruppen- und Phasenlaufzeit im DB relativ konstant (besser als Teschbyscheff I)</li> </ul>
<p><b>Cauer (elliptisches Filter) S320</b></p> <ul style="list-style-type: none"> <li>• Amplitudengang: Definierte Welligkeit im SB und DB</li> <li>• Steilster Übergang zwischen SB und DB</li> <li>• bei geradem N je N konjugiert komplexe Pol- und Nullstellen</li> <li>• bei ungeradem N 1 reeler Pol und N-1 konjugiert komplexe Pol-Nullstellen</li> <li>• kein Allpolfilter</li> <li>• Gruppen- und Phasenlaufzeit im DB relativ schlecht</li> <li>• kleinste Ordnung</li> </ul>	<p><b>Bessel S326</b></p> <ul style="list-style-type: none"> <li>• Sehr linearer Phasengang</li> <li>• Flachster Übergang zw. DB und SB im Amplitudengang</li> <li>• ergibt ein Allpolfilter</li> <li>• immer asymptotisch stabil</li> <li>• Gruppen- und Phasenlaufzeit im DB sehr konstant</li> </ul>

4.2.4 Bestimmung der minimal nötigen Ordnung (TP)

Mittels Nomogramm



Oder mittels Formeln

$$n_{\text{Butterworth}} = \left\lceil \frac{\log \left[ \frac{10^{A_{\min}/10} - 1}{10^{A_{\max}/10} - 1} \right]}{2 \cdot \log \left( \frac{\Omega_S}{\Omega_D} \right)} \right\rceil \quad \text{S307}$$

$$n_{\text{Tscheybscheff}_{(I,II)}} = \left\lceil \frac{\text{Arcosh} \sqrt{\frac{10^{A_{\min}/10} - 1}{10^{A_{\max}/10} - 1}}}{\text{Arcosh}(\Omega_S/\Omega_D)} \right\rceil \quad \text{S314}$$

$$n_{\text{Cauer}} = \left\lceil \frac{K \left( \left( \frac{\Omega_D}{\Omega_S} \right)^2 \right) K \left( 1 - \frac{10^{A_{\max}/10} - 1}{10^{A_{\min}/10} - 1} \right)}{K \left( 1 - \left( \frac{\Omega_D}{\Omega_S} \right)^2 \right) K \left( \frac{10^{A_{\max}/10} - 1}{10^{A_{\min}/10} - 1} \right)} \right\rceil, \text{ mit } K(k) = \int_0^{\pi/2} \frac{d\theta}{\sqrt{1 - k^2 \sin^2 \theta}} \quad \text{S324}$$

Oder mit Matlab

buttord, cheblord, cheb2ord, ellipord

Grundsätzlich gilt (für gleiche Spezifikationen)  $n_{\text{Butterworth}} \geq n_{\text{Tscheybscheff}_{(I,II)}} \geq n_{\text{Cauer}}$

4.2.5 normierte TP UTF bestimmen (TP)

Die UTF kann meist aus Tabellen herausgelesen werden und variiert je nach Filtertyp.

Filtertyp	Tabellen auf Seite	normiert auf	H(S) von TP approximation
Butterworth	397 - 398	$\omega_{3dB}$	$H(S) = \frac{1}{S^n + b_{n-1}S^{n-1} + \dots + b_2S^2 + b_1S + b_0}$
Kritisch-gedämpfte Filter	395 - 397	$\omega_{3dB}$	$H(S) = \frac{K}{S^n + b_{n-1}S^{n-1} + \dots + b_2S^2 + b_1S + b_0}$
Tscheybscheff I	399 - 403	$\omega_D$	$H(S) = \frac{K}{S^n + b_{n-1}S^{n-1} + \dots + b_2S^2 + b_1S + b_0}$
Bessel	403 - 405	$\omega_{3dB}$	$H(S) = \frac{K}{S^n + b_{n-1}S^{n-1} + \dots + b_2S^2 + b_1S + b_0}$
Cauer	406		mittels Software

4.2.6  $\Omega_{3dB}$  bestimmen (TP)

$$\Omega_{3dB} = \frac{\omega_{3dB}}{\omega_r}$$

Butterworth <b>S397</b> $\omega_{3dB} = \underbrace{\sqrt[2n]{\frac{1}{10^{A_{\max}/10} - 1}}}_{\Omega_{3dB}} \cdot \omega_D$	Tscheybscheff I <b>S399</b> $\omega_{3dB} = \underbrace{\cosh \left[ \left( \frac{1}{n} \right) \text{Arcosh} \left( \frac{1}{e} \right) \right]}_{\Omega_{3dB}} \cdot \omega_D$	Kritisch gedämpfte Filter <b>S395</b> $\omega_{3dB} = \frac{\sqrt{2^{1/n} - 1}}{\sqrt{10^{\frac{A_{\max}}{10 \cdot n}} - 1}} \cdot \omega_D$
Cauer <b>S406</b> Keine Tabelle, (Matlab: <code>ellip</code> , <code>ellipap</code> )	Bessel <b>S403</b> $\omega_{3dB}$ aus Abb. 7.111 <b>S404</b>	Rippelfehler: $e = \sqrt{10^{\frac{A_{\max}}{10}} - 1}$

4.2.7 Filtertransformationen (TP) S342-361

	Tiefpass-Hochpass	Tiefpass-Bandpass	Tiefpass-Bandsperre
	<b>TP ⇔ HP S342</b>	<b>TP ⇔ BP S346</b>	<b>TP ⇔ BS S355</b>
Ordnung:	$n$	$2n$	$2n$
Ansatz:	$S \rightarrow \frac{1}{S}$	$S \rightarrow \frac{S^2+1}{B \cdot S}$	$S \rightarrow \frac{B \cdot S}{S^2+1}$
UTF:	$H_{HP}(S) = H_{TP}\left(\frac{1}{S}\right)$	$H_{BP}(S) = H_{TP}\left(\frac{S^2+1}{B \cdot S}\right)$	$H_{BS}(S) = H_{TP}\left(\frac{B \cdot S}{S^2+1}\right)$
Norm. Frequenz:	$\Omega_{S_{TP}} = \frac{1}{\Omega_{S_{HP}}}$	$\Omega_{S_{TP}} = \frac{\Omega_{S_2} - \Omega_{S_1}}{B} = \frac{\Omega_{S_2} - \Omega_{S_1}}{\Omega_{B_2} - \Omega_{B_1}} = \frac{\omega_{S_2} - \omega_{S_1}}{\omega_{B_2} - \omega_{B_1}}$	$\Omega_{S_{TP}} = \frac{B}{\Omega_{S_2} - \Omega_{S_1}} = \frac{\Omega_{B_2} - \Omega_{B_1}}{\Omega_{S_2} - \Omega_{S_1}} = \frac{\omega_{B_2} - \omega_{B_1}}{\omega_{S_2} - \omega_{S_1}}$
normierte Bandbreite:		$B = \frac{\omega_{B_2} - \omega_{B_1}}{\omega_r} = \Omega_{B_2} - \Omega_{B_1}$	
geometrisch-symmetrische BP/BS:		$\Omega_{B_1} \Omega_{B_2} = \Omega_{S_1} \Omega_{S_2} = 1$	

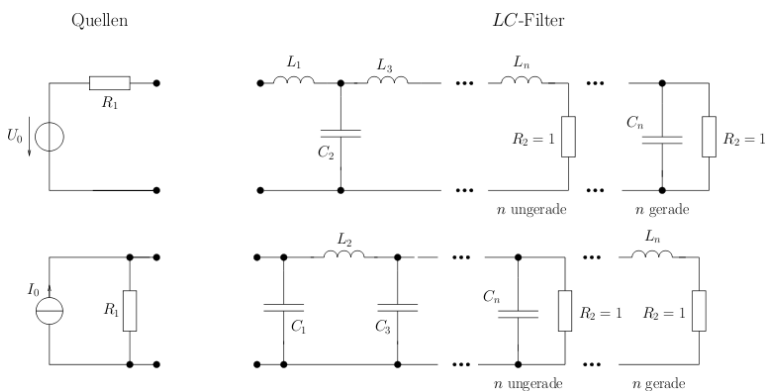
Direkte Substitution der UTF

HP-TP	$H_{TP}(S) = \frac{K}{b_n S^n + b_{n-1} S^{n-1} + \dots + b_1 S + b_0}$	$\rightarrow H_{HP}(S) = \frac{K S^n}{b_0 S^n + b_1 S^{n-1} + \dots + b_{n-1} S + b_n}$
BP-TP 1. Ordnung	$H_{TP}(S) = \frac{1}{S+a}$	$\rightarrow H_{BP}(S) = H_{TP}\left(\frac{S^2+1}{B \cdot S}\right) = \frac{B \cdot S}{S^2 + a B \cdot S + 1}$
BP-TP 2. Ordnung	$H_{TP}(S) = \frac{1}{S^2 + a S + b}$	$\rightarrow H_{BP}(S) = H_{TP}\left(\frac{S^2+1}{B \cdot S}\right) = \frac{B^2 S^2}{S^4 + a B S^3 + (b B^2 + 2) S^2 + a B \cdot S + 1}$
BS-TP 1. Ordnung	$H_{TP}(S) = \frac{1}{S+a}$	$\rightarrow H_{BS}(S) = H_{TP}\left(\frac{B \cdot S}{S^2+1}\right) = \frac{\frac{1}{a}(S^2+1)}{S^2 + \frac{B}{a} S + 1}$
BS-TP 2. Ordnung	$H_{TP}(S) = \frac{1}{S^2 + a S + b}$	$\rightarrow H_{BS}(S) = H_{TP}\left(\frac{B \cdot S}{S^2+1}\right) = \frac{\frac{1}{b}(S^2+1)^2}{S^4 + \frac{a B}{b} S^3 + \left(\frac{B^2}{b} + 2\right) S^2 + \frac{a B}{b} S + 1}$

4.2.8 UTF Entnormierung

TP S295	HP S346	BP S352	BS S360	
$S = \frac{s}{\Omega_{3dB} \cdot \omega_D}$	$S \rightarrow \frac{1}{S}$ $S = \frac{s \cdot \Omega_{3dB}}{\omega_D}$	$S \rightarrow \frac{S^2 + 1}{S \cdot B \cdot \Omega_{3dB}}$ $S = \frac{s}{\omega_m}$	$S \rightarrow \frac{S \cdot B \cdot \Omega_{3dB}}{S^2 + 1}$ $S = \frac{s}{\omega_m}$	Falls es schon auf $\Omega_D$ (Tschebyscheff I) normiert ist, so gilt $\Omega_{3dB} = 1$

4.2.9 LC-Tiefpass bestimmen (TP) S362,407



Die Struktur unterscheidet sich nicht zwischen den Filtertypen. Es ist zwischen Minimal-C (meistens) und Minimal-L-Netzwerken auszuwählen.

Referenzwiderstand:  $R_r = R_{Last} = R_{2_{unnormiert}}$

4.2.10 LC Tabellenindex (TP)

Butterworth S409	Tschebyscheff I S410-411	Kritisch gedämpfte Filter S408
Cauer S414-415	Bessel S412	

Erläuterungen zu den Tabellen:

- Die Legende oben beschreibt die Stromquellenstruktur, die untere die Spannungsquellenstruktur.
- Normierung auf  $R_2 = 1$ , folglich  $R_1 = \frac{R_{Quelle}}{R_r} = \frac{R_{1unnormiert}}{R_r}$

4.2.11 LC unnormieren (TP)

$L_{FI} = \frac{L_{FI3dB}}{\Omega_{3dB}}$	$C_{FI} = \frac{C_{FI3dB}}{\Omega_{3dB}}$	(nicht bei Cauer-Filter)
---	---	--------------------------

4.2.12 Bauteiltransformation zum gewünschten Filter S386

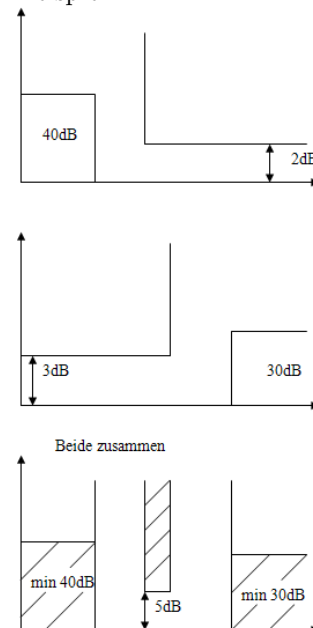
Tiefpass-Hochpass S373	$L_{TP} \quad S \rightarrow \frac{1}{S}$	$C_{HP} = \frac{1}{L_{TP}}$
	$C_{TP} \quad S \rightarrow \frac{1}{S}$	$L_{HP} = \frac{1}{C_{TP}}$
Tiefpass-Bandpass S374	$L_{TP} \quad S \rightarrow \frac{S^2+1}{B \cdot S}$	$L_{BP} = \frac{L_{TP}}{B}$ $C_{BP} = \frac{B}{L_{TP}}$
	$C_{TP} \quad S \rightarrow \frac{S^2+1}{B \cdot S}$	$L_{BP} = \frac{B}{C_{TP}}$ $C_{BP} = \frac{C_{TP}}{B}$
Tiefpass-Bandsperre S375	$C_{TP} \quad S \rightarrow \frac{B \cdot S}{S^2+1}$	$L_{BS} = \frac{1}{B \cdot C_{TP}}$ $C_{BS} = C_{TP} \cdot B$
	$L_{TP} \quad S \rightarrow \frac{B \cdot S}{S^2+1}$	$L_{BS} = L_{TP} \cdot B$ $C_{BS} = \frac{1}{B \cdot L_{TP}}$

4.2.13 LC in Impedanz und Frequenz entnormieren S377

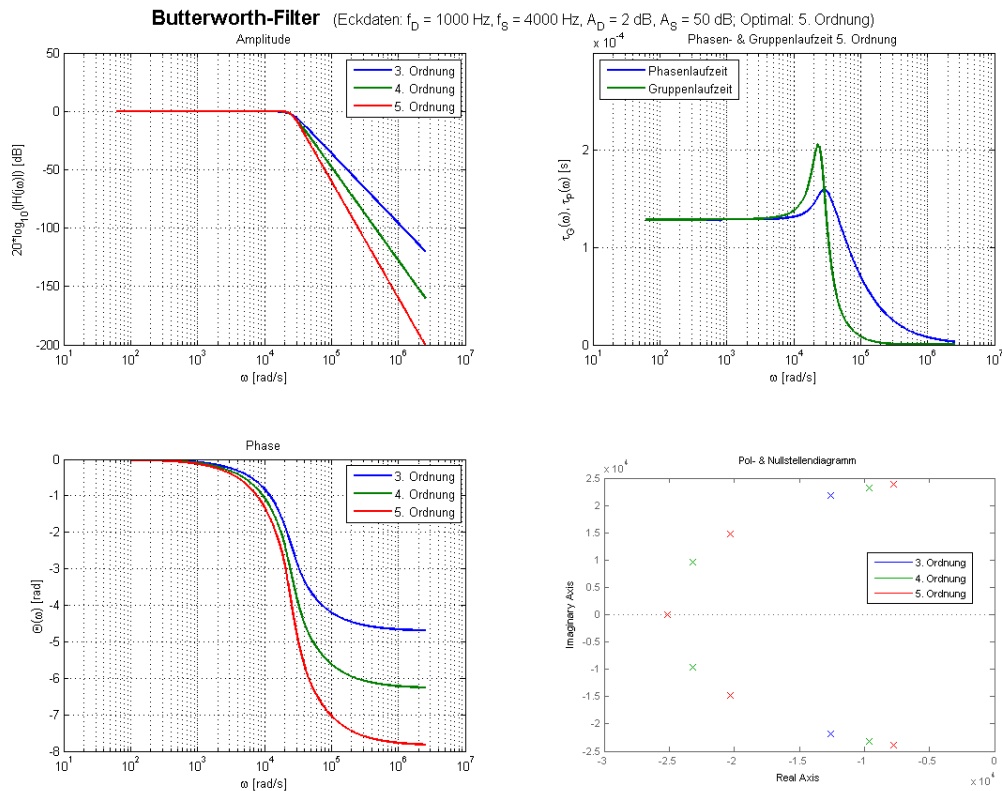
$L = L_{FI} \cdot \frac{R_r}{\omega_r}$	$C = C_{FI} \cdot \frac{1}{R_r \cdot \omega_r}$
---	---

4.3 Kaskadierung von Filtern

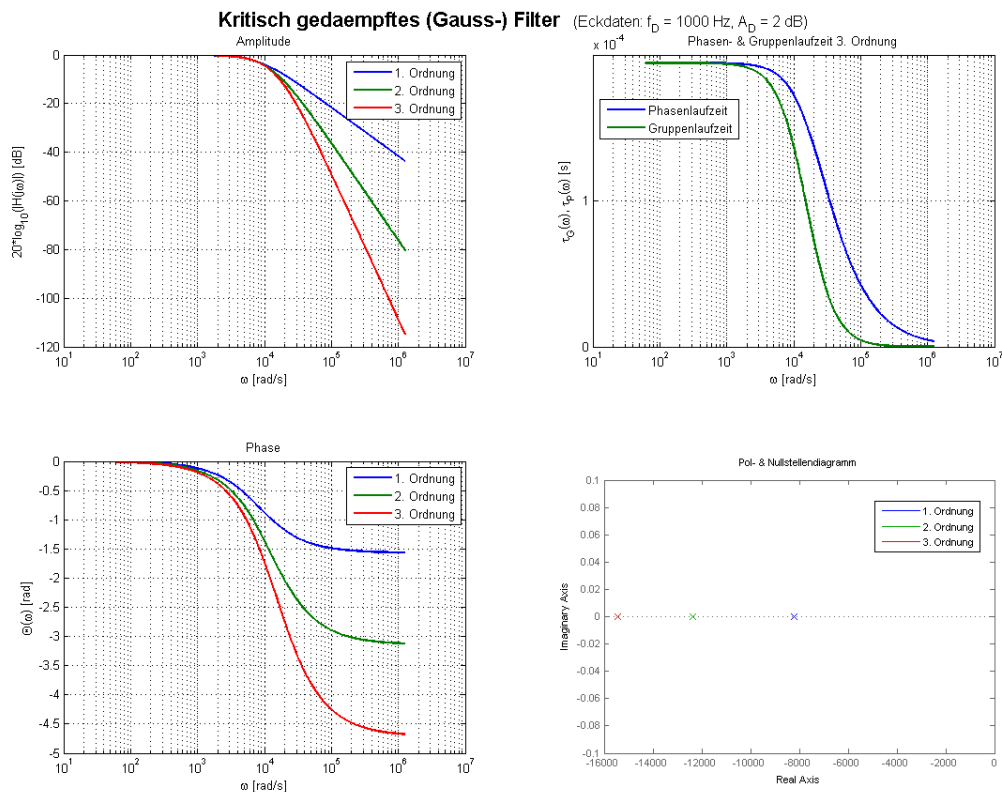
Wenn mehrere Filter kaskadiert werden, ändern sich die Spezifikationen wie in folgendem Beispiel:



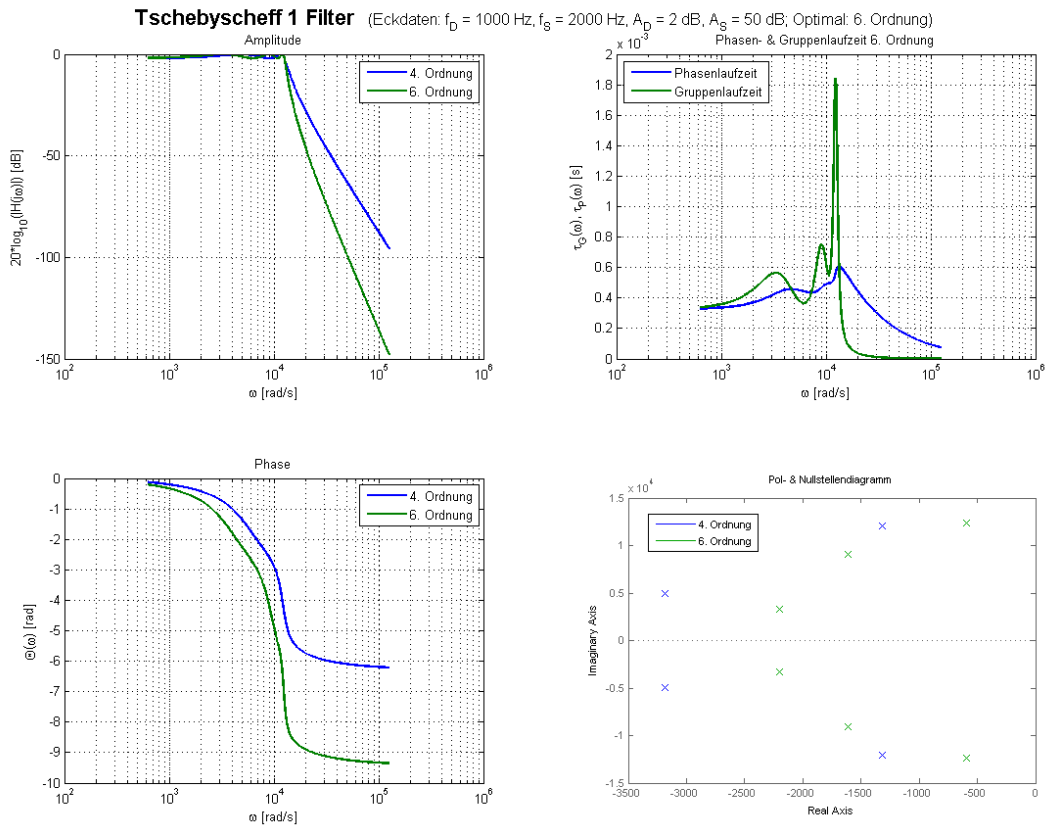
### 4.4 Vergleich der Approximationsarten S331-341



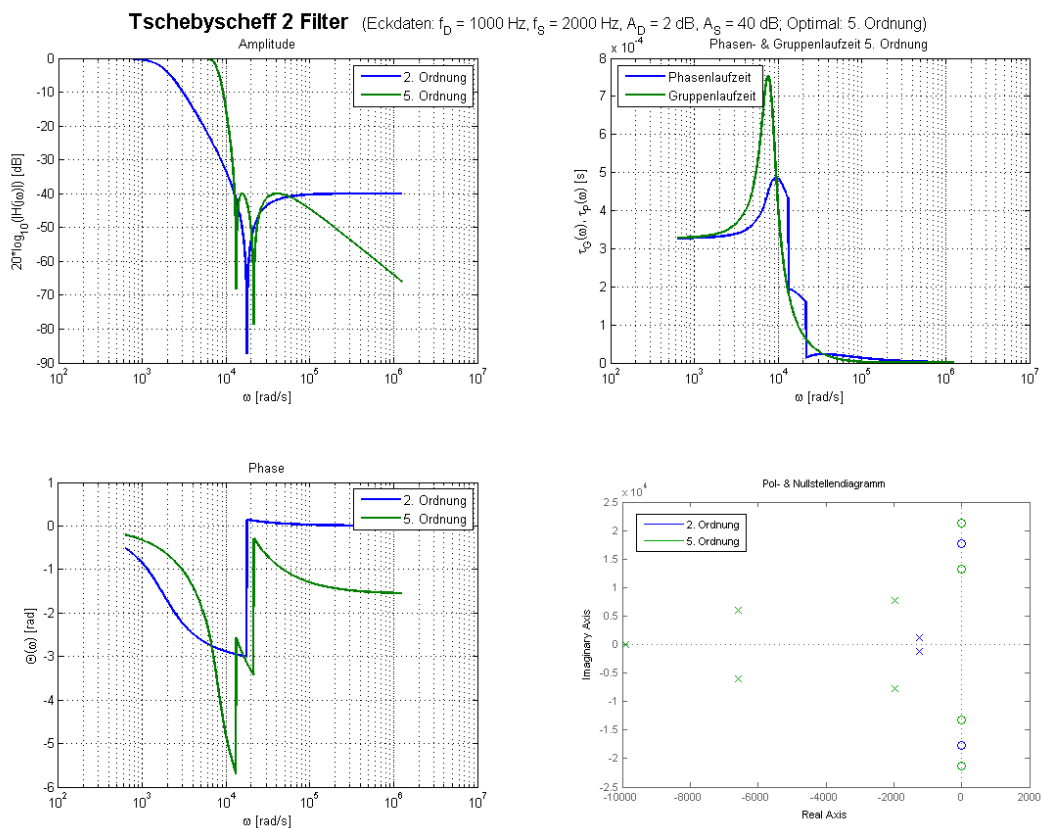
Butterworth-Filter mit UTF  $H(s) = \frac{1.003e022}{s^5 + 8.133e004s^4 + 3.307e009s^3 + 8.312e013s^2 + 1.291e018s + 1.003e022}$



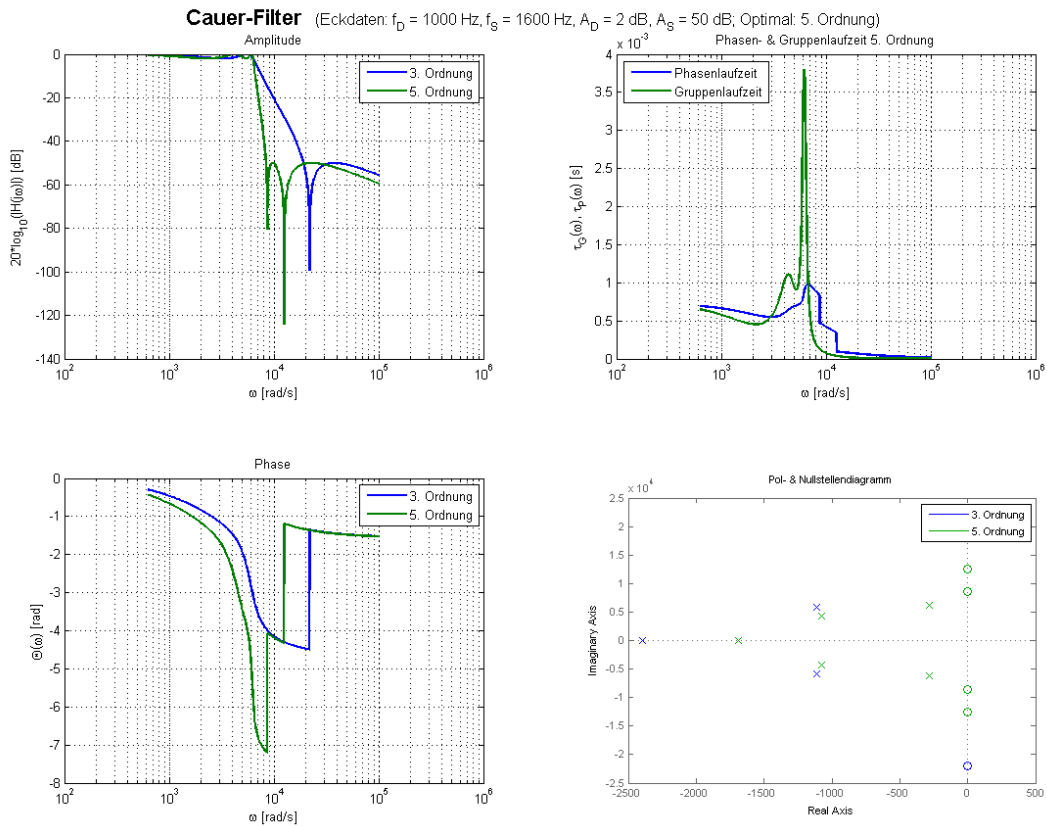
Kritisch gedämpftes Filter mit UTF  $H(s) = \frac{1}{2.724e-013s^3 + 1.261e-008s^2 + 0.0001945s + 1}$



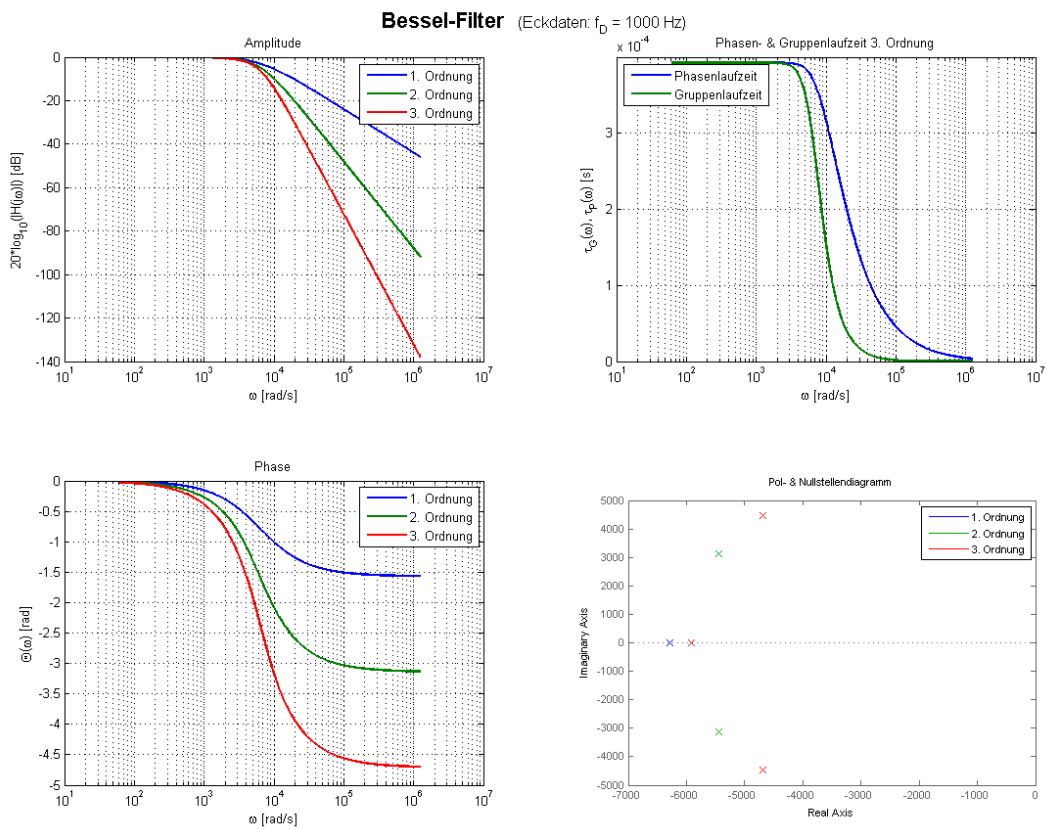
Tschebyscheff-I-Filter mit UTF  $H(s) = \frac{1.609e023}{s^6 + 8812s^5 + 2.757e008s^4 + 1.721e012s^3 + 1.924e016s^2 + 6.589e019s + 2.026e023}$



Tschebyscheff-II-Filter mit UTF  $H(s) = \frac{628.3s^4 + 1.081e-009s^3 + 3.969e011s^2 + 1.975s + 5.014e019}{s^5 + 2.701e004s^4 + 3.645e008s^3 + 3.076e012s^2 + 1.639e016s + 5.014e019}$



Cauer-Filter mit UTF  $H(s) = \frac{108.8s^4 - 6.596e-010s^3 + 2.538e010s^2 - 0.08009s + 1.29e018}{s^5 + 4398s^4 + 6.408e007s^3 + 1.939e011s^2 + 9.227e014s + 1.29e018}$



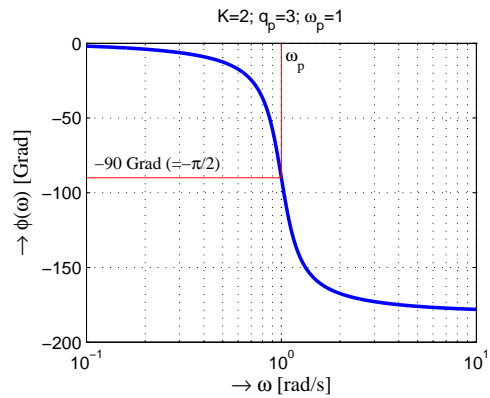
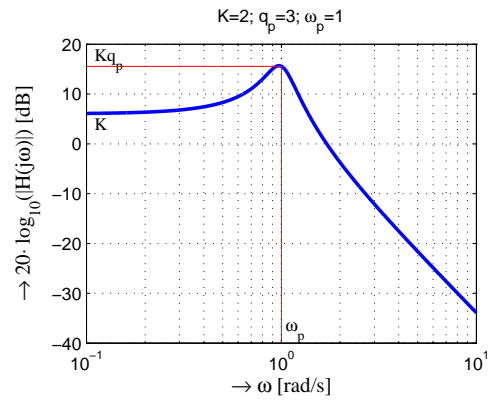
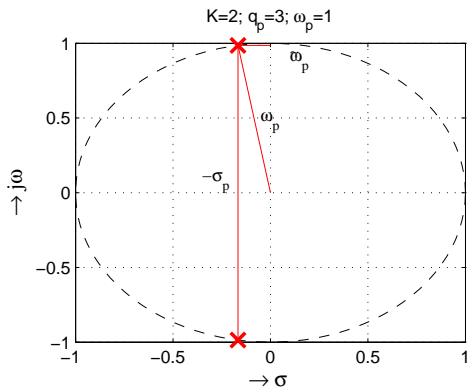
Bessel-Filter mit UTF  $H(s) = \frac{2.481e011}{s^3 + 1.529e004s^2 + 9.736e007s + 2.481e011}$

### 4.4.3 Bode-Diagramm und Pol- Nullstellenverteilung von verschiedenen UTF 2. Ordnung

Für alle Beispiele a) bis f) gilt:  $2\sigma_p = \frac{\omega_p}{q_p}$  (Formel 4.17), wobei  $|q_p| > \frac{1}{2}$  sein muss, damit die Pole konjugiert-komplex sind.

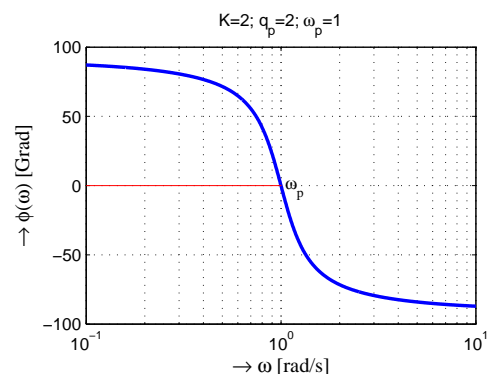
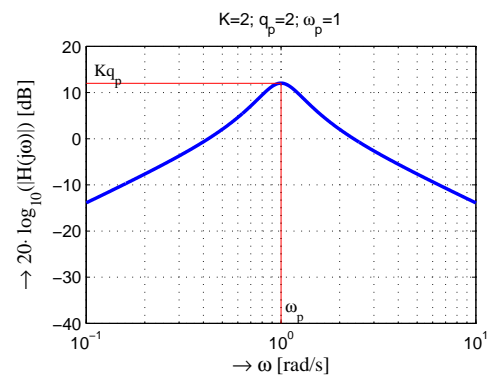
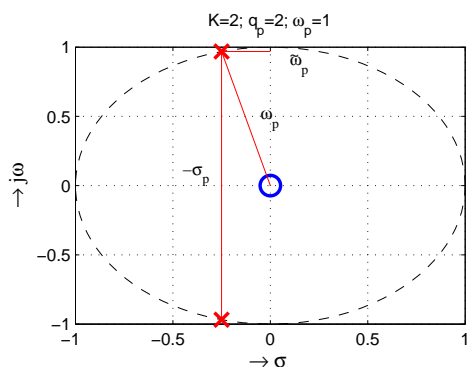
#### a) Tiefpass

$$H(s) = \frac{K \cdot \omega_p^2}{s^2 + 2\sigma_p s + \omega_p^2}$$



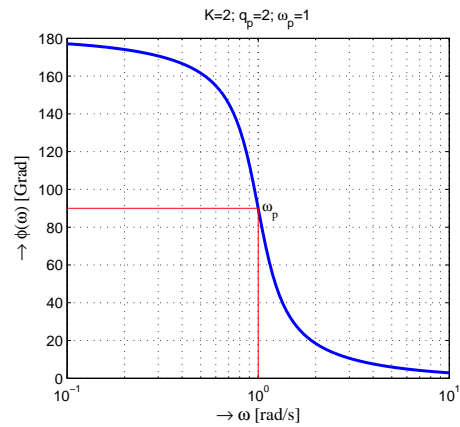
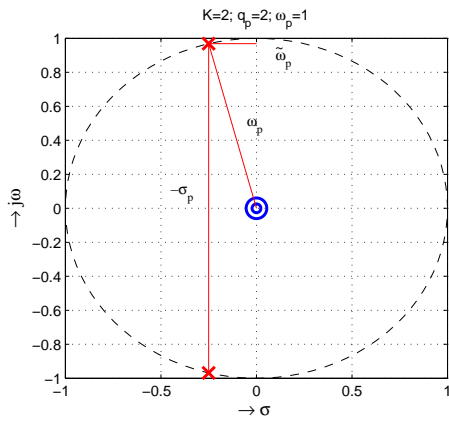
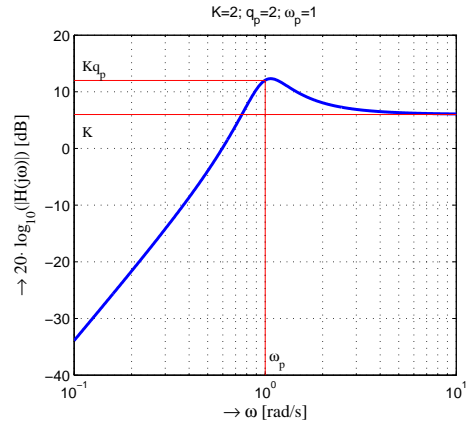
#### b) Bandpass

$$H(s) = \frac{K \cdot \omega_p \cdot s}{s^2 + 2\sigma_p s + \omega_p^2}$$



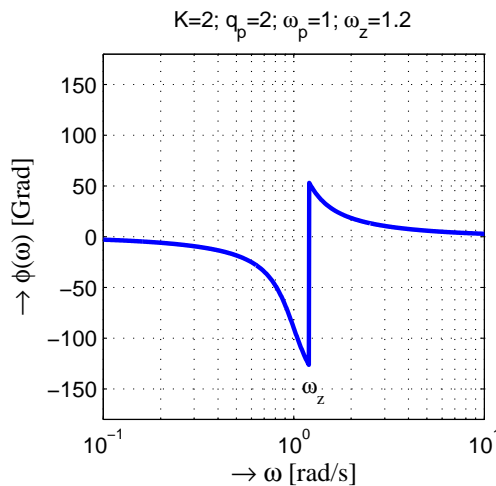
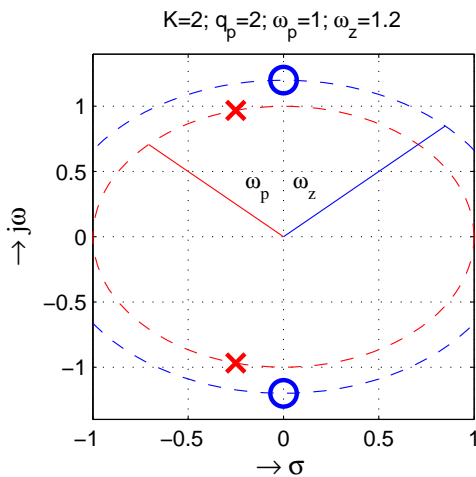
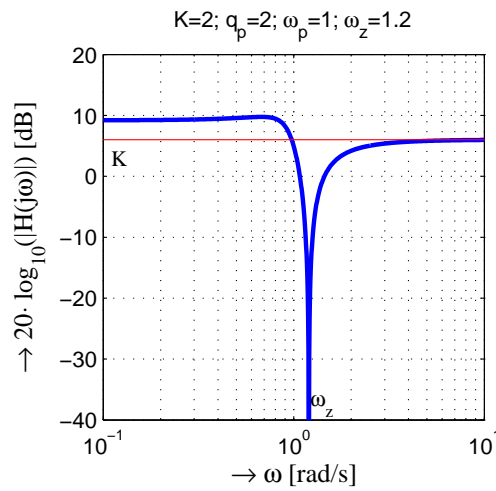
c) Hochpass

$$H(s) = \frac{K \cdot s^2}{s^2 + 2\sigma_p s + \omega_p^2}$$



d) Tiefpass mit endlichen Nullstellen

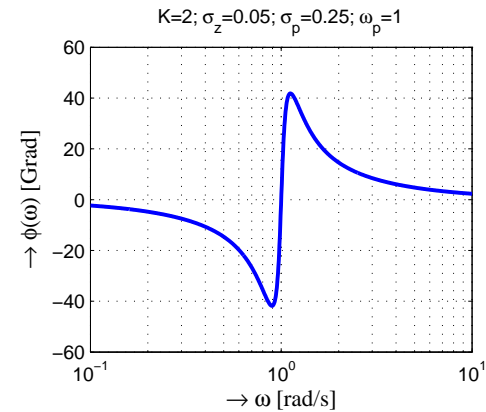
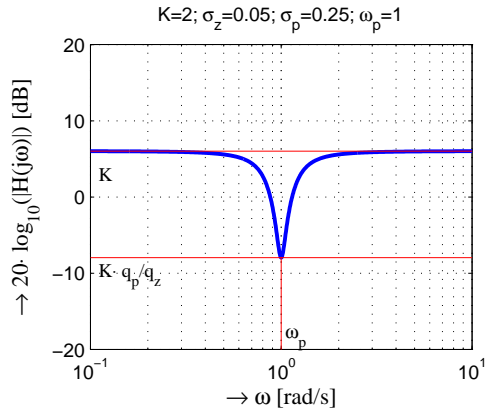
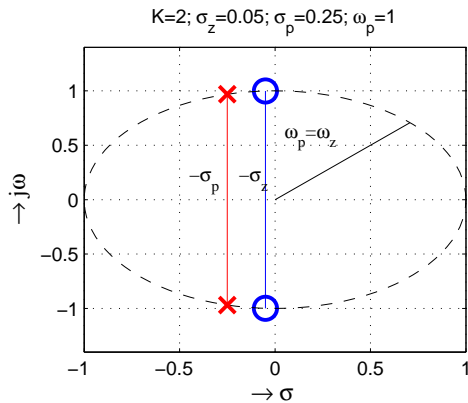
$$H(s) = \frac{K \cdot (s^2 + \omega_z^2)}{s^2 + 2\sigma_p s + \omega_p^2} \text{ mit } \omega_z > \omega_p$$



e) **FRN**  
 (frequency rejection network, Notch)

$$H(s) = K \frac{s^2 + 2\sigma_z s + \omega_p^2}{s^2 + 2\sigma_p s + \omega_p^2}$$

mit  $\sigma_p > \sigma_z$  (dominates Nullstellenpaar)



f) **FEN**  
 (frequency emphasizing network)

$$H(s) = K \frac{s^2 + 2\sigma_z s + \omega_p^2}{s^2 + 2\sigma_p s + \omega_p^2}$$

mit  $\sigma_p < \sigma_z$  (dominates Polpaar)

